

06.3; 07; 12

© 1993

ГЕТЕРОЭПИТАКСИАЛЬНЫЕ $GaAs$ p - n -СТРУКТУРЫ
НА Si ПОДЛОЖКАХ, ПОЛУЧЕННЫЕ ГАЗОФАЗНОЙ
ЭПИТАКСИЕЙ В ОТКРЫТОЙ ХЛОРИДНОЙ СИСТЕМЕ

Ю.В. Ж и л я е в, А.Л. Л и п к о,
М.Г. М ы н б а е в а, Н. Н а з а р о в,
Л.М. Ф е д о р о в

В последние годы заметно активизировались работы по эпитаксиальному выращиванию гетерослоев A_3B_5 на Si подложках и приборных структур на их основе [1–11]. Это в основном связано с возможностью совмещения в таких структурах арсенида галлия с уникальными электрическими, фотоэлектрическими и электролюминесцентными свойствами и высококачественных кремниевых подложек большего размера. Следует отметить, что использование дешевых высококачественных кремниевых подложек может привести к существенному снижению стоимости полупроводниковых приборов, полученных на основе эпитаксиальных слоев $GaAs$ на Si подложках.

Имеются сообщения о получении светоизлучающих [3] и фото преобразовательных [6] $GaAs$ структур на Si подложках с использованием молекулярно-лучевой и металлоорганической эпитаксии.

В настоящей работе впервые сообщается о получении эпитаксиальной $GaAs$ p - n -структур на Si подложке с GaP буферным слоем простым технологическим методом газофазной эпитаксии в открытой хлоридной системе $Ga(GaP)-PCl_3-H_2$ и $Ga(GaAs)-AsCl_3-H_2$ [8, 12]. Определены электрические характеристики $GaAs$ p - n -структур на Si подложке с GaP буферным слоем и спектр фоточувствительности.

1. Создание эпитаксиальных p - n^0 - $GaAs$ - n - GaP / n - Si структур.

Для получения p - n^0 - $GaAs$ - n - GaP / n - Si структур сначала на n - Si подложке выращивался гетероэпитетаксиальный буферный слой n - GaP , а затем на него наращивался слой n^0 - $GaAs$ и p - $GaAs$. Буферные слои n - GaP легировались теллуром и серой до концентраций $n \approx (1 \dots 3) \cdot 10^{17} \text{ см}^{-3}$ и имели толщину $\sim (6 \dots 8) \text{ мкм}$. Эпитетаксиальный слой n^0 - $GaAs$ выращивался на буферном фосфиде галлиевом эпитаксиальном слое (n - GaP/n - Si), специально не легированного ($n_o \approx (1 \dots 3) \cdot 10^{15} \text{ см}^{-3}$) и имел толщину $\sim (18 \dots 20) \text{ мкм}$. Затем выращивался слой p - $GaAs$ толщиной $\sim 6 \text{ мкм}$, легированный цинком до концентраций дырок $p \approx (1 \dots 2) \cdot 10^{17} \text{ см}^{-3}$.

Подложками для получения p - n^0 - $GaAs$ - n - GaP / n - Si структур служили двухсторонне полированные пластины Si -КЭФ-001 толщиной $\sim 400 \text{ мкм}$, ориентированные в плоскости (100) с разориента-

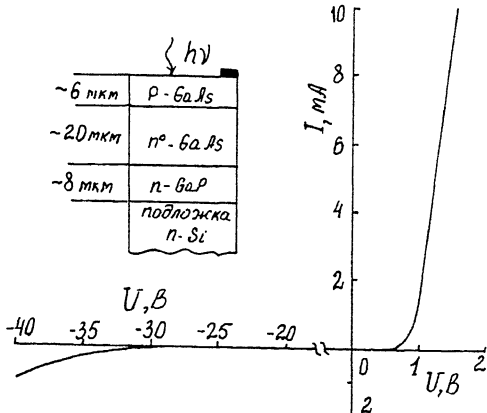


Рис. 1. Типичная вольт (U)-амперная (I) характеристика $p\text{-}n^0\text{-GaAs}\text{-}n\text{-GaP}/n\text{-Si}$ структуры (300 К). На вставке – схематическое изображение $p\text{-}n^0\text{-GaAs}\text{-}n\text{-GaP}/n\text{-Si}$ структуры.

цией $4\ldots 6^\circ$ в направлении [110]. Площадь исследованных структур составляла $S \simeq (3\ldots 5) \cdot 10^{-2} \text{ см}^2$.

Омические контакты создавались вплавлением в атмосфере очищенного водорода при температуре $520\ldots 550^\circ\text{C}$, для эпитаксиального слоя $p\text{-GaAs}$ использовался сплав $\text{In} + 2.5\% \text{Zn}$ для $n\text{-Si}$ подложки – $\text{In} + 2\% \text{Te}$.

Схематическое изображение полученных $p\text{-}n^0\text{-GaAs}\text{-}n\text{-GaP}/n\text{-Si}$ структур и расположение омического контакта к $p\text{-GaAs}$ слою показаны на рис. 1 (вставка).

2. Характеристика ток (I)-напряжение (U) при 300 К.

Прямая $I\text{-}U$ характеристика исследованных $p\text{-}n^0\text{-GaAs}\text{-}n\text{-GaP}/n\text{-Si}$ структур линейна при больших плотностях тока $\sim (5\ldots 15) \text{ A/cm}^2$, токовое напряжение отсечки – $(1.2\ldots 1.3)$ В, дифференциальное сопротивление ~ 20 Ом. Типичная прямая и обратная ветви $I\text{-}U$ характеристики исследованной структуры при плотностях тока $(0.1\ldots 1) \text{ A/cm}^2$ приведены на рис. 1. Напряжение пробоя для исследованных структур составляло $U_{\text{проб.}} \simeq (30\ldots 40)$ В. Такое напряжение пробоя, а также увеличенное значение дифференциального сопротивления (~ 20 Ом), видимо, связаны с присутствием нелегированного $n^0\text{-GaAs}$ слоя в исследуемой структуре.

3. Спектр фоточувствительности (300 К).

Спектры фоточувствительности $p\text{-}n^0\text{-GaAs}\text{-}n\text{-GaP}/n\text{-Si}$ структур получены при освещении $p\text{-GaAs}$ слоя (рис. 2). Спектр фоточувствительности узкополосный (полуширина спектра ~ 20 мэВ) с максимумом фоточувствительности при значениях энергии фотона $h\nu_{\text{max}} \simeq 1.405$ эВ.

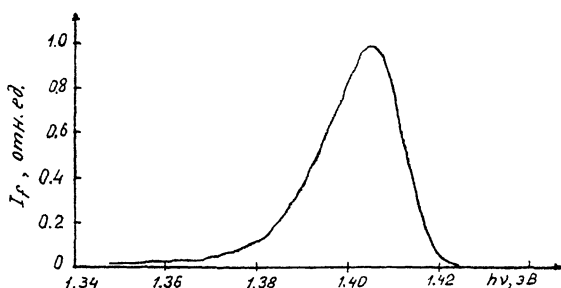


Рис. 2. Спектр фоточувствительности $p-n^0\text{-GaAs}-n\text{-GaP}/n\text{-Si}$ структуры (300 К).

Красная граница фоточувствительности соответствует спектру поглощения арсенида галлия. Резкий спад фоточувствительности в коротковолновом крыле спектра, видимо, обусловлен глубинным расположением p - n -перехода в исследованной нами структуре ($d_{p\text{-GaAs}} \approx 6$ мкм). Действительно, толщина освещаемого p - GaAs слоя значительно больше эффективной длины поглощения фотонов в арсениде галлия с энергией $h\nu \geq E_g(\text{GaAs})$.

Таким образом, методом газофазной эпитаксии в открытой хлоридной системе получены GaAs p - n -структуры на Si подложках с GaP буферным слоем и определены их электрические (I - U) характеристики и спектры фоточувствительности.

Авторы выражают благодарность В.В. Евстропову за полезное обсуждение результатов работы.

Список литературы

- [1] Gonda S., Matsushima Y., Mukai S., Makita Y., Igarashi O. // Jap. J. Appl. Phys. 1978. V. 17. N 6. P. 1043-1048.
- [2] Kawanami H., Ishihara S., Nagai K., Hayashi Y. // Jap. J. Appl. Phys. 1986. V. 25. N 5. P. L419-L420.
- [3] Kim J.H., Nouhi A., Radhakrishnan G., Lin J.K., Lang J.R., Katz J. // Appl. Phys. Lett. 1988. V. 53. N 14. P. 1248-1250.
- [4] Poggie H.B., Kemlage B.M., Broade R.W. // J. Cryst. Growth. 1977. N 37. P. 13-22.
- [5] Lum R.M., Klingert J.K., Davison B.A., Lamont M.G. // Appl. Phys. Lett. 1987. V. 51. N 1. P. 36-38.

- [6] Itoh Y., Nishioka T., Yamamoto A., Yamaguchi M. // Appl. Phys. Lett. 1988. V. 52. N 19. P. 1617-1618.
- [7] Georgakilas A., Panayotatos P., Stocmengel J., Mourrain J.L., Christon A. // J. Appl. Phys. 1992. V. 71. N 6. P. 2679-2701.
- [8] Жиляев Ю.В., Криволапчук В.В., Назаров Н., Никитина И.П., Полетаев Н.К., Сергеев Д.В., Травников В.В., Федоров Л.М. // ФТП. 1990. Т. 24. В. 7. С. 1303-1305.
- [9] Андреев В.М., Мингаиров А.М., Назаров А.К., Сулимова О.В., Фалеев Н.Н., Якимов А.Ю. // Письма в ЖТФ. Т. 17. В. 3. С. 1-3.
- [10] Медведев Б.К., Гаранин В.П., Копылов В.Б., Мокеров В.Г., Слепнев Ю.В., Кузнецова А.Л. / Письма в ЖТФ. 1990. Т. 16. В. 11. С. 48-52.
- [11] Винокуроев Д.А., Лантратов В.М., Синицын М.А., Улин В.П., Фалеев Н.Н., Федорова О.М., Шайович Я.Л., Явич Б.С. // ФТП. 1991. 1991. Т. 25. В. 6. С. 1022-1029.
- [12] Aljeroov J.I., Garbuzov D.Z., Trukhan M.K., Zhilijaev Jn.V. // J. Kris. 'a. Techn. 1967. N 4. P. 541-545.

Физико-технический
институт им. А.Ф. Иоффе
РАН, С.-Петербург

Поступило в Редакцию
11 марта 1993 г.